

코드북 영상을 이용한 고속 프랙탈 영상 복호기에 관한 연구

이기록* · 곽노윤**

A Study on Fast Fractal Image Decoder Using a Codebook Image

Ki-Wook Lee* and No-Yoon Kwak**

요 약 Jacquin에 의해 프랙탈 이론을 이용한 영상 부호화 기법이 소개된 이래로, Fisher와 Beaumont 등에 의하여 낮은 비트율에서도 우수한 화질을 제공하는 프랙탈 영상 압축 기법들이 다수 제안되었다. 그러나 기존에 고안된 기법들이 갖고 있는 하나의 문제점은 복호화가 반복 처리를 통해 구현되며 그 복잡도가 각각의 영상에 따라 상이하다는 것이다. 본 논문에서는 복호 시간을 단축시키기 위해 반복 변환이 필요 없는 프랙탈 영상 복호 알고리즘을 제안하고자 한다. 제안된 방법은 복호기에서 사용할 초기 영상과 동일한 코드북 영상을 부호기에 보유하고 있는 상태에서 부호화 과정에서는 이 코드북 영상과 부호화하려는 영상의 유사성을 찾아 프랙탈 계수를 구한다. 이후, 복호화 과정에서는 수신된 프랙탈 계수와 기 설정된 초기 영상을 이용하여 반복 변환 없이 한 번에 영상을 복호함으로써 복호 시간을 현저하게 단축시킬 수 있었다.

Abstract Since Jacquin introduced the image coding algorithm using fractal theory, many fractal image compression algorithms providing good quality at low bit rate have been proposed by Fisher and Beaumont et al.. But a problem of the previous implementations is that the decoding rests on an iterative procedure whose complexity is image-dependent. This paper proposes an iterative-free fractal image decoding algorithm to reduce the decoding time. In the proposed method, under the encoder previously with the same codebook image as an initial image to be used at the decoder, the fractal coefficients are obtained through calculating the similarity between the codebook image and an input image to be encoded. As the decoding process can be completed with received fractal coefficients and predefined initial image without repeated iterations, the decoding time could be remarkably reduced.

Key Words : fractal coding, codebook image, iterative-free fractal algorithm, fast fractal image decoding

1. 서 론

프랙탈 영상 압축은 자기 유사성(self-similarity)에 근거하여 간단한 규칙을 통해 복잡한 프랙탈 구조를 생성할 수 있는 데, 이것을 이용하여 공간 영역 상에 내포된 영상 데이터의 중복성을 제거함으로써 영상 데이터를 압축하는 영상 부호화 방법이다[1].

Barnsley[2][3][4][5]가 프랙탈의 자기 유사성을 이용한 반복 변환 시스템(IFS: Iterated Function System)을 기반으로 한 영상 압축 기법을 제안한 이후로 Jacquin, Fisher, Morno, Novak 등과 같은 많은 연구자들이 여기에 바탕을 둔 다수의 부호화 기법을 제안하였다.

Fisher 등이 제안한 전역 탐색을 통한 프랙탈 부호기는 복원 영상의 화질은 뛰어나지만 부호화 과정에서 소요되는 시간이 오래 걸리는 단점이 있다. Jacquin은

Gersho[6] 등이 제안한 분류 벡터 양자화기에서와 같은 방법을 사용하여 평탄 블럭 정의역 풀, 에지 블럭 정의역 풀, 중간 범위 블럭 정의역 풀 등으로 정의역 블럭의 특성을 미리 파악하고 같은 특성을 갖는 치역 정의역 블럭 조합의 경우에만 탐색을 행함으로서 탐색시간을 줄였다[7][8]. Morno 등은 유사성 탐색 과정을 수행하지 않으면서 자기 유사성을 찾을 수 있는 방법을 SAS(Self Affine System)을 이용하여 구현하였다[9]. SAS 방법은 하나의 상위 블럭을 4개의 작은 하위 블럭으로 나누고 상위 블럭을 변환시켜 하위 블럭에 근사화 시킨다. 이러한 방법은 부호화의 고속화를 실현할 수 있다는 장점이 있으나 복잡한 영역은 정확하게 부호화 할 수 없는 단점을 가지고 있다.

이와 같이 기존의 프랙탈 영상 부호화 기법들은 부호기 부분의 성능 개선 및 계산량의 감소에만 주력함에 따라 상대적으로 복호기에 대한 연구가 소홀한 편이다. 하지만, 프랙탈 영상 부호기의 실시간 구현을 위해서는

*아남반도체(주)

**천안대학교 정보통신학부

복호 시간의 감축 역시 간과할 수 없는 측면이다. 이에 따라, 앞에서 설명한 방법들과 달리 프랙탈 부호화 방법을 내적 공간에서 바라본 Oien과 Lepsoy는 고속 부호화 및 복호화에 대해 연구하게 되었다. 이들은 프랙탈에 사용된 변환의 각 항을 직교하는 기저로 구현하여 영상의 중복성을 제거함으로써 반복 적용이 필요 없는 복호기의 구현을 가능하게 하였다[10][11]. 그러나, 이 방법은 기저의 수를 증가시킬 경우, 변환 부호화 방법에 가까워지고, 기저의 수를 줄일 경우에는 수렴 속도가 떨어지는 문제가 있다.

본 논문에서 제안된 복호화 알고리즘은 수렴 속도를 빠르게 하는 것이 아닌 한 번의 프랙탈 역변환의 적용으로 복호를 완료하는 알고리즘으로, 서로 다른 두 영상의 유사성을 찾아 그것을 이용하여 영상을 부호화한다. 이것은 프랙탈의 주요한 특성을 잃어버리는 것인지만 부호단과 복호단에서 동일한 코드북 영상을 가지고 프랙탈 계수를 산출하기 때문에 영상 복원 시, 프랙탈 역변환을 단 한 번 적용하는 것만으로 원 영상을 복원 할 수 있는 이점이 있다.

2. PIFS에 기반한 프랙탈 영상 압축

프랙탈 영상 압축은 어파인 변환(Affine transform), 수축 변환(contractivity transformation), 분할 반복 시스템(IFs), 하우스도프 거리(Hausdorff metric), 콜라지 정리(Collage theorem), 수축 사상 고정점 정리(contractive mapping fixed-point theorem) 등과 같은 수학적인 이론들에 근거하고 있다[12][13][14].

2.1 반복 변환 시스템

자기 자신의 공간으로 사상시키는 수축 변환들의 집합을 반복 변환 시스템(IFs)이라고 하는데, 이 반복 변환 시스템은 식(1)과 같은 사상(map)을 만든다.

$$F(X) = \bigcup_{i=1}^n f_i(X) \quad (1)$$

여기서, $F(X)$ 는 각각의 수축 변환 $f_i(\cdot)$ 에 대해서 $f_i(X)$ 를 계산한 뒤 이들의 합집합을 구함으로써 반복 변환 시스템에 의한 새로운 사상을 얻게 된다. 이와 같은 반복 변환 시스템을 반복해서 적용하면 ‘수축 사상 고정점 정리’에 의해 최종적으로 얻어지는 사상은 초기 영상에 무관하게 하나의 고정된 사상(attractor)으로 수렴하게 된다. 이러한 사실은 반복 변환 시스템을 이용하는 프랙탈 영상 부호화의 이론적인 배경이 되고 있다.

2.2 블럭 분할 방법

영상은 부분 영상간의 자기 유사성이 크지 않음에 따라 실제의 영상을 부호화 하고자 할 경우에는 영상을 정의역 블럭(domain block)과 치역 블럭(range block)으로 각각 분할한 후, 정의역 블럭과 치역 블럭 사이의 유사성을 반영하는 프랙탈 계수를 찾아 부호화하는 분할 반복 변환 시스템(PIFS : Partitioned Iterative Function System)을 이용한다[12].

원 영상을 정해진 최소 깊이로 큐드트리 분할을 수행하고 난 후, 해당 블럭 크기의 두 배가 되는 정의역 블럭을 선택하여 정의역 블럭의 네 화소의 평균값을 취해 축소시킨 정의역 블럭과 치역 블럭의 크기를 같게 하고 최소의 RMS(Root Mean Square)값을 같도록 비례 인자(scale factor)와 가감 인자(offset factor)를 찾는다.

모든 정의역 블럭의 RMS 값을 계산하여 비교한 후, 그 중 가장 작은 RMS 값이 기 설정된 임계값보다 작으면 큐드트리 분할을 중단하고 임계값보다 크면 다시 네 개의 부블럭으로 큐드트리 분할을 수행하여 이상의 방법을 반복한다.

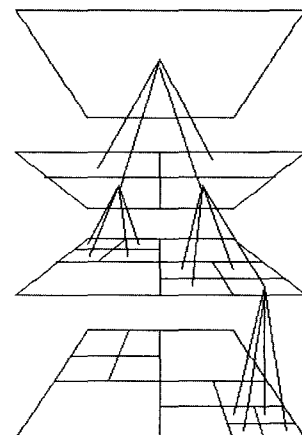


그림 1. 큐드트리 분할 방법

정의역 블럭의 크기는 치역 블럭의 2배가 되어야 하므로 치역 블럭에서 선택한 크기의 2배가 되는 정의역 블럭을 모두 만들어 내야 한다. 정의역 블럭은 겹쳐질 수 있기 때문에 겹쳐지는 영역에 따라 세 가지로 분류된다. 첫 번째는 블럭의 크기에 관계없이 동일한 거리를 가지는 방법이고, 두 번째로는 Jacquin 이 사용한 방법으로 큰 블럭에 대해서는 짧은 거리를 가지고 분할하고 작은 블럭에 대하여서는 먼 거리를 가지고 분할하는 방법으로 큰 정의역 블럭의 개수가 작은 정의역 블럭의 개수보다 많게 하는 방법이다. 이렇게 해서 큰 영역에서 더 자세히 탐색함으로써 프랙탈 계수의 수를 줄여

압축률을 높이는 방법이다. 세 번째로는 두 번째 방법과 반대로 작은 블럭이 짧은 거리를 갖고 큰 블럭이면 먼 거리를 갖는 방법으로 세밀한 부분을 더 정확하게 부호화 한다. 영상의 성질에 적합하게 분할하기 위해 쿼드트리 분할 방법 이외에 블럭을 직사각형으로 분할하는 방법(HV partition), 삼각형으로 분할하는 방법(trigonal partition), 육각형으로 분할하는 방법(hexagonal partition) 등 여러 가지 방법이 연구되고 있다[12].

2.3 회전과 대칭

1차원 신호에서는 공간적인 변환은 수축 이외에는 하나의 대칭밖에 없었으나 이차원 영상에 대해서는 여러 가지 방향의 대칭과 회전을 고려할 수 있다. 그러나 광 셀화 된 영상에서는 일반적인 각도의 회전이나 임의의 축에 대한 대칭 등을 구현해 내기는 여러 가지 난점이 있다. 이러한 이유 때문에 간단히 4가지 각도의 회전과 각 회전에 대하여 하나의 대각선 방향으로의 대칭으로 8가지의 공간적 변화를 수행한다.

2.4 블럭의 분류

정의역 블럭과 치역 블럭을 비교하는 부호화 과정은 매우 많은 연산량이 소요된다. 따라서 블럭을 성질별로 분류한 후, 비슷한 성질을 갖는 블럭끼리만 탐색하게 하여 부호화 시간을 줄이는 것이 일반적이다. 블럭을 분류하는 방법에는 여러 가지가 있다. 예를 들어 Jacquin은 블럭을 평탄 블럭, 중간 블럭, 에지 블럭으로 분류하고 있다.

제안된 방법의 블럭 분류 방법은 Fisher[12]에 의해 제안된 프랙탈 부호화 알고리즘을 채택하고 있다. 우선, 블럭을 4개의 정사각형 형태의 부블럭으로 분할하여 각각의 부블럭에 대하여 평균과 분산값을 구하여 그것의 순서에 따라 분류하는 방법이다. 만약, 정사각형 내의 화소값을 r_1^i, \dots, r_n^i 라 한다면, 평균 μ 과 분산 σ^2 은 각각 식(2) 및 식(3)과 같다.

$$\mu_i = \frac{1}{N} \sum_{j=1}^N r_j^i \quad (2)$$

$$\sigma_i^2 = \frac{1}{N} \sum_{j=1}^N (r_j^i - \mu_i)^2 \quad (3)$$

μ_i 의 순서대로 하면 24개로 분류가 가능하나 8방향의 기하학적 변형을 생각하면 그림 2와 같이 3개의 주요 분류군(major class)으로 분류할 수 있다. 즉,

○ 주요 분류군 I : $\mu_1 \geq \mu_2 \geq \mu_3 \geq \mu_4$

○ 주요 분류군 II : $\mu_1 \geq \mu_2 \geq \mu_4 \geq \mu_3$

○ 주요 분류군 III : $\mu_1 \geq \mu_4 \geq \mu_2 \geq \mu_3$

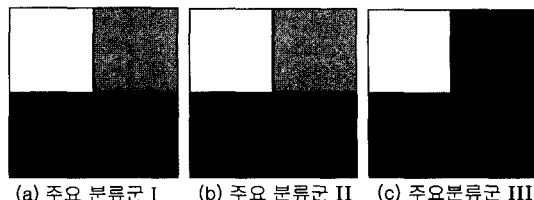


그림 2. 3개의 주요 분류군

일단, 주요 분류군이 결정되면 블럭의 기하학적 변형 역시 결정된 이후이기 때문에 3개의 주요 분류군은 V_i 의 순서에 따라 다시 24개의 부분분류군(subclass)로 나누어진다. 따라서 총 72개의 분류군으로 나누어지며 부호화 시에 같은 분류군으로 분류된 정의역 블럭과 치역 블럭만을 비교함으로써 부호화 시간을 줄인다.

2.5 비례 인자와 가감 인자

치역 블럭과 변형된 정의역 블럭의 차이가 가장 작도록 신호의 비례 인자와 가감 인자를 산출해야 한다.

가령, 의 두 화소 집합을 식(4)과 같이 정의할 경우, 치역 블럭과 변형된 정의역 블럭의 평균 자승 오차(MSE: Mean Square Error)을 식(5)과 같이 나타낼 수 있다.

$$A = \{a_i; 1 \leq i \leq N\} \quad (4)$$

$$B = \{b_i; 1 \leq i \leq N\}$$

$$R = \frac{1}{N} \sum_{i=1}^N (s \cdot a_i + o - b_i)^2 \quad (5)$$

여기서 a_i 는 정의역 블럭의 휘도값이고 b_i 는 치역 블럭의 휘도값이다. 그리고, ‘ s ’와 ‘ o ’는 각각 해당 블럭의 비례 인자와 가감 인자를 의미한다. 또한, N 은 화소 집합의 크기를 나타내는 값이며, i 는 화소 집합의 원소, 즉, 화소값을 나타내는 인덱스 변수이다. 이때, 최소의 R 을 구하기 위해서는 식(6)과 같이 양변을 ‘ s ’와 ‘ o ’로 편미분했을 때 각각 그 결과가 0이 되도록 하는 ‘ s ’와 ‘ o ’를 구하면 된다.

$$\frac{\partial R}{\partial s} = \frac{2}{N} \sum_{i=1}^N a_i (s \cdot a_i + o - b_i) = 0 \quad (6)$$

$$\frac{\partial R}{\partial o} = \frac{2}{N} \sum_{i=1}^N (s \cdot a_i + o - b_i) = 0$$

두 식을 연립하여 풀면 그 결과는 식(7)과 같이 된다.

$$s = \frac{\left[N \sum_{i=1}^N a_i \cdot b_i - \sum_{i=1}^N a_i \sum_{i=1}^N b_i \right]}{\left[N \sum_{i=1}^N a_i^2 - \left(\sum_{i=1}^N a_i \right)^2 \right]} \quad (7)$$

$$o = \frac{1}{N} \sum_{i=1}^N b_i - s \sum_{i=1}^N a_i$$

2.6 기존의 프랙탈 영상 복호

기존의 프랙탈 영상 복호 과정은 블럭마다 정해진 프랙탈 역변환들을 초기 영상에 수렴할 때까지 여러 번 반복 적용함으로써 복호화가 이루어진다. 이때, 초기 영상은 임의로 선택할 수 있으며 어떠한 선택을 하더라도 최종 복호 영상에 영향을 미치지 않는다. 그림 3은 SALESMAN 영상에 대해 프랙탈 역변환의 횟수를 반복함에 따라 원영상에 수렴해 가는 과정을 PSNR을 이용해 나타낸 것이다.

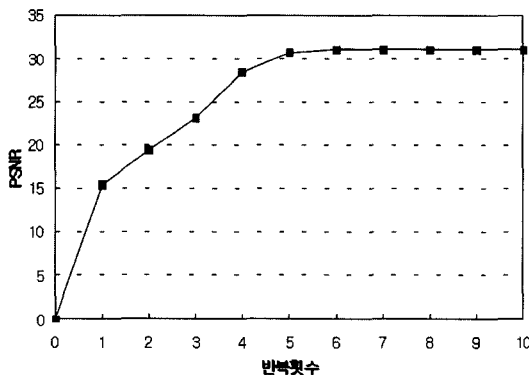


그림 3. SALESMAN 영상의 반복 횟수에 따른 PSNR

그림 4(a)~그림 4(d)는 각각 288화소×360화소 256 계조의 SALESMAN 영상을 Fisher[12]의 방법을 이용하여 부호화 한 뒤 이를 각각 1번, 2번, 3번, 그리고 10 번 프랙탈 역변환을 반복한 영상들이다.

Fisher[12]의 방법은 부호화하려는 입력 영상에서 차역 블럭과 정의역 블럭을 모두를 설정하여 프랙탈 계수 집합을 추출한다. 복호 시에는 임의의 초기 영상에 프랙탈 계수 집합을 대응시키는 프랙탈 역변환을 반복적으로 수행함으로써 부호화 대상 영상을 복원한다. 이는 영상 부호화에 프랙탈의 특성을 십분 반영하고 있는 것 이지만, 통상 8~10회 정도를 반복하여 프랙탈 역변환을 수행하는 복호화 과정은 프랙탈 영상 복호기의 실시간

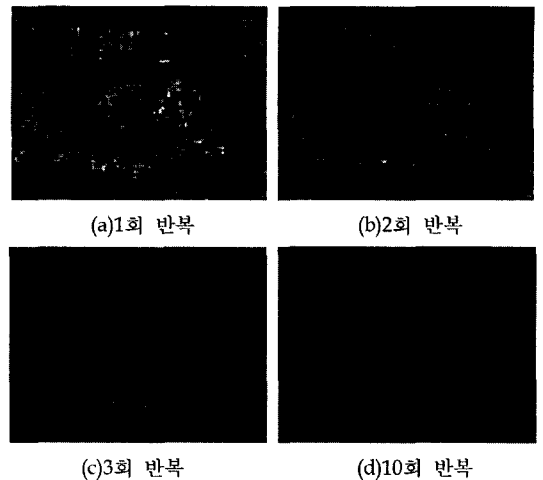


그림 4. SALESMAN 영상의 수렴 과정

구현 측면에 또 하나의 심각한 장애가 되고 있다.

3. 제안된 프랙탈 영상 압축

기존의 방법의 과도한 복호 시간을 단축하기 위해 제안된 방법은 복호기에서 사용할 초기 영상과 동일한 코드북 영상을 부호기에 보유하고 있는 상태에서 부호화 과정에서는 이 코드북 영상과 부호화하려는 영상의 유사성을 찾아 프랙탈 계수를 구한다. 이후, 복호화 과정에서는 수신된 프랙탈 계수와 기 설정된 초기 영상을 이용하여 반복 변환 없이 한 번에 영상을 복호한다. 이것은 기존 방법의 과도한 복호 시간을 반복 변환 횟수의 역수 배 만큼 단축할 수 있는, 반복 변환이 필요없는 고속 프랙탈 영상 복호화를 실현할 수 있음을 의미한다.

3.1 프랙탈 부호화 과정

제안된 방법의 프랙탈 부호화 과정은 Fisher가 제안한 부호화 방법[12]에 기반을 두고 있다. 다만, 부호단과 복호단이 동일한 코드북 영상을 사용한다는 것이 상이할 뿐이다. 이를 위해 제안된 방법의 부호기는 복호기에서 사용할 초기 영상과 동일한 코드북 영상을 미리 저장하고 있는 것이 필수적이다. 그림 5는 제안된 프랙탈 영상 부호기를 간략하게 나타낸 것이다.

1) 치역·정의역 블럭 설정

우선, 부호화 하고자 하는 원영상인 부호화 대상 영상을 기 설정된 크기로 분할하여 복수의 블럭으로 구성된 블럭군을 생성한다. 이때, 블럭의 크기는 통상 32화소×32화소, 16화소×16화소, 8화소×8화소 중 어느 하나를 선택하여도 무방하나 블럭의 크기와 비트율 및 화질 간

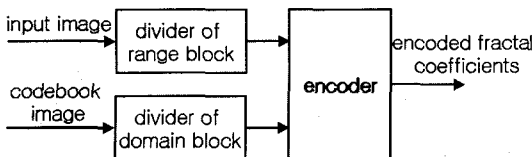


그림 5. 제안된 프랙탈 영상 부호기

에는 상호 타협 관계(trade-off)가 존재한다. 적정한 블럭의 크기의 설정은 높은 압축 효율을 위한 선행 조건이 된다. 제안된 방법에서는 블럭의 크기를 16화소×16화소로 정하고, 오차에 비례하는 비용 함수를 설정하여 블럭의 크기를 가변하는 방법을 사용한다. 이후, 이 블럭군에서 래스터 스캐닝 순서로 치역 블럭을 선택하고, 기 설정된 코드북 영상에서 치역 블럭의 두배 크기로 하나 이상의 정의역 블럭을 설정한 후, 정의역 블럭을 치역 블럭과 동일한 크기로 축소하여 축소 정의역 블럭을 생성한다.

2) 프랙탈 계수 추출 과정

프랙탈 계수 추출 과정에서는 치역 블럭과 각각의 축소 정의역 블럭 간의 오차들이 최소가 되도록 프랙탈 변환을 수행한 후, 오차들 중에서 최소 오차를 갖는 축소 정의역 블럭의 프랙탈 계수를 최적 프랙탈 계수로 추출한다. 이러한 프랙탈 계수 추출 과정을 세분화하면 치역 정의역 쌍 생성 단계, 비례·가감 인자 계산 단계, 최적 프랙탈 계수 추출 단계로 구분하여 살펴볼 수 있다.

- 치역·정의역 쌍 생성 : 치역 블럭과 각각의 축소 정의역 블럭과의 일대일 대응 관계를 형성하는 치역?정의역 쌍을 생성한다.

- 비례·가감 인자 계산 : 각각의 치역·정의역 쌍에서 치역 블럭을 대상으로 회전과 대칭을 통한 공간 변환을 수행하면서 축소 정의역 블럭과의 오차가 최소 자승 오차가 되도록 하는 비례 인자 및 가감 인자를 검출한다. 이후, 각각의 최소 자승 오차 중에서 최소값을 갖는 최소 치역·정의역 쌍에 대한 회전·대칭 변환 계수, 비례 인자, 가감 인자, 정의역 블럭의 위치를 산출함으로써 해당 블럭의 프랙탈 계수를 구할 수 있다.

- 최적 프랙탈 계수 산출 : 최소 자승 오차가 기 설정된 소정 임계치 보다 작은지 여부를 판단한다. 판단 결과, 최소 자승 오차가 임계치 보다 작으면, 최적 프랙탈 계수를 프랙탈 계수 집합에 래스터 스캐닝 순서로 포함 시켜 버퍼링한다. 그렇지 않으면, 치역 블럭을 퀘드트리 분할하여 각각의 부블럭에 대한 최적 프랙탈 계수를 가변 블럭 기반으로 추출하는 과정을 수행하게 된다.

이후, 래스터 스캐닝 순서 상에서 마지막에 위치한 최종 치역 블럭에 대한 최적 프랙탈 계수를 산출하였는지 여부를 판단한다. 최종 치역 블럭에 대한 최적 프랙탈 계수가 산출됐으면, 프랙탈 계수 집합을 저장하거나

전송함으로써 최종적으로 프랙탈 부호화를 완료한다.

3.2 프랙탈 복호화 과정

제안된 프랙탈 복호화는 부호단에서 정의역 블럭을 설정할 시에 사용된 코드북 영상과 동일한 초기 영상에 프랙탈 계수 집합을 블럭 기반으로 대응시키는 단 한 번의 프랙탈 역변환을 통해 반복 변환없이 영상을 복원한다. 그림 6은 제안된 프랙탈 영상 복호기를 간략하게 나타낸 것이다.

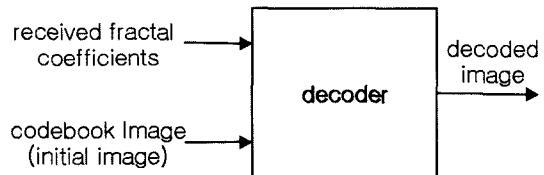


그림 6. 제안된 프랙탈 영상 복호기

기 설정된 초기 영상과 프랙탈 계수 집합을 입력받으면, 래스터 스캐닝 순서에 입각하여 프랙탈 계수 집합에서 각각의 치역 블럭에 대한 최적 프랙탈 계수를 블럭 기반으로 읽는다. 이후, 프랙탈 역변환 단계에서는 최적 프랙탈 계수를 초기 영상에 적용시키는 한 번의 프랙탈 역변환을 수행한다.

최종 치역 블럭의 최적 프랙탈 계수까지 모두 처리되었는지 여부를 판단한다. 판단 결과, 모두 처리되지 않았으면, 최적 프랙탈 계수를 읽는 단계로 되돌아 가고, 그렇지 않으면, 프랙탈 복호를 종료함으로써 모든 블럭에 대한 프랙탈 복호를 완료한다.

제안된 방법의 복호기는 부호기에서 사용한 코드북 영상을 초기 영상으로 삼은 것 이외에는 기존의 프랙탈 복호기와 완전히 똑같기 때문에 제안된 방법에서 프랙탈 역변환을 한 번 적용하는 복호 시간과 기존의 방법에서 프랙탈 역변환을 한번 적용하는 복호 시간은 동일하다. 따라서 기존의 방법에서 복호시 프랙탈 역변환의 반복 횟수를 n 회 사용한다면 제안된 방법의 복호 시간은 기존의 복호 시간의 $1/n$ 배로 단축되는 효과가 있다.

4. 시뮬레이션 결과 및 고찰

제안된 방법의 타당성과 보편성을 검증하기 위해 정지 영상을 대상으로 기존의 방법[12]과 제안된 방법을 적용하는 컴퓨터 시뮬레이션을 수행하였다. 시험 영상은 256 계조 256×256 크기의 HUMBIRD, MANDRILL, PUPPY 영상을 사용하였다.

컴퓨터 시뮬레이션을 수행함에 있어 제안된 방법은 Fisher가 제안한 블럭 분류 방법과 퀘드트리 분할을 사

용하여 최대 블럭 크기가 16화소×16화소, 쿼드트리 분할에 의한 최소 블럭 크기가 4화소×4화소가 되도록 하였다. 축소 정의역 블럭과 치역블럭을 정합 시, 최소 자승 오차의 임계값은 8로 하였으며, 스칼라 양자화기를 사용하여 비례 인자는 5비트를 가감 인자는 7비트를 할당하였다. 한편, 프랙탈 영상 부호화 방법은 블럭 기반 방법이기 때문에 복호 후, 블럭킹 효과(blocking effect)를 제거하기 위해 블럭의 경계를 중심으로 평탄화 필터를 적용하였다. 기존의 방법[12]은 복호화 과정에서 프랙탈 역변환을 10회 반복 적용시킨 영상을 사용하였다. 표 1은 기존의 방법과 제안된 방법의 PSNR과 비트율을 비교한 것으로, 비트율의 경우, 엔트로피 부호화를 수행하지 않은 결과를 제시한 것이다.

HUMBIRD 영상의 경우, 제안된 방법은 기존의 방법에 비해 PSNR이 소폭 낮거나 거의 유사한 반면에 MANDRILL 영상과 PUPPY 영상의 경우, 오히려 다소 높은 것을 알 수 있다. 표 1을 통해 살펴 볼 수 있듯이, 제안된 방법은 반복 변환없이 한 번에 복호해 내면서도 부호화 성능이나 복호 영상의 희질은 거의 변하지 않음을 알 수 있다.

그림 7은 각 방법을 적용한 복호 영상을 나타낸 것이다. 그림 7(a)는 MANDRILL의 원영상이고, 그림 7(b)는 MANDRIL 영상에 기존의 방법[12]을 적용한 복호 영상이다. 그림 7(c)와 그림 7(d)는 각각 HUMBIRD 영상과 PUPPY 영상을 코드북 영상으로 삼아 MANDRILL 영상을 복호한 것이다. 제안된 방법과 기존의 방법 간에 유판으로 확인할 수 있는 정도의 주관적인 화질 차이가 없음을 알 수 있다.

5. 결 론

본 논문에서는 프랙탈 영상 압축 알고리즘의 문제점 중에서 영상을 복호할 때 프랙탈 역변환을 여러 번 반복 적용 해야하는 것을 개선하기 위하여 효율적인 복호

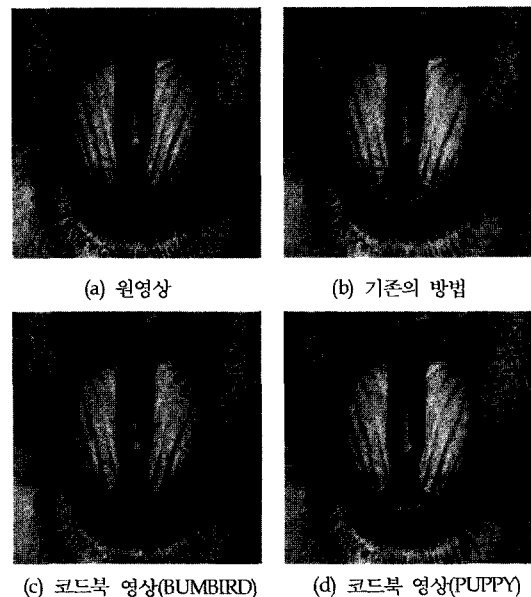


그림 7. 각 방법을 적용한 MANDRILL 영상의 복호 결과

화 과정이 가능한 알고리즘을 제안하였다.

본 논문에서 수행된 프랙탈 역변환 과정은 부호단과 복호단에서 공동의 코드북 영상을 사용하는 것을 제외하면, 일반적인 프랙탈 영상 코덱에서 수행하는 한 번의 프랙탈 역변환 과정과 동일한 과정을 따름에 따라 제안된 방법을 일반적인 프랙탈 영상 부호화 장치에 적용하면, 일반적인 프랙탈 역변환을 수행하는 횟수, 즉, 반복 변환 횟수(n)의 역수(즉, $1/n$)배 만큼 복호 소요 시간을 단축시킬 수 있다. 또한, 제안된 방법은 한 번의 프랙탈 역변환만으로 영상을 복호해 내면서도 기존의 방법과 비교해 볼 때 성능이 저하되지 않음을 확인할 수 있었다.

한편 프랙탈 영상 압축 알고리즘의 성능을 높이기 위한 기존의 연구들이 블럭의 분류 방법이나 분할 방법을

표 1. 제안된 방법과 기존의 방법의 PSNR과 비트율 비교

codebook image input image	기존의 방법	HUMBIRD	MANDRILL	PUPPY
HUMBIRD	30.545dB	x	30.517dB	30.543dB
	0.921bpp		0.930bpp	0.905bpp
MANDRILL	28.584dB	28.685dB	x	28.741dB
	1.380bpp	1.371bpp		1.368bpp
PUPPY	26.630dB	26.922dB	26.767dB	x
	0.977bpp	0.989bpp	0.997bpp	

새로 제안한 것과는 달리 본 논문에서는 정의역 블럭과 치역 블럭을 서로 다른 영상에서 생성하여 부호화 할 뿐 블럭의 분할 방법 등은 어느 것이든지 상관없이 사용할 수 있다. Morno 등이 제안한 SAS 알고리즘을 제외한다면 제안된 방법에서 이용한 Fisher의 분류 방법이 외에도 대다수의 반복 변환 시스템을 이용하는 프랙탈 영상 코덱에 직접 응용할 수 있어 높은 활용도가 기대 된다.

제안된 방법의 단점으로는 복호기에 코드북 영상을 사전에 저장하기 위한 한 장 분의 메모리가 필요하다는 점을 들 수 있다. 하지만 반도체 공정의 발달로 인한 메모리 가격의 하락으로 이 문제는 큰 비중을 차지하지 않으리라 생각된다. 제안한 알고리즘은 실험 결과 적절한 초기 영상의 선택이 부호기의 성능에 영향을 미치므로 대다수의 영상에 적절한 코드북 영상을 생성하는 알고리즘이 개발된다면 좀더 일반적인 시스템으로 구현할 수 있을 것이다.

참고문헌

- [1] H. O. Peitgen, H. Jurgens, and D. Saupe, *Chaos and Fractals : New Frontiers of Science*, Springer-Verlag, New York, 1992.
- [2] M. F. Barnsley, *Fractals Everywhere*, 2nd ed., Academic Press Professional, San Diego, 1993.
- [3] M. F. Barnsley, *Fractal Image Compression*, AK Peters, Ltd., Wellesley, MA, 1993.
- [4] M. F. Barnsley, V. Ervin, D. Hardin, and J. Lancaster, "Solution of an inverse problem for fractals and other sets", Proc. Natl. Acad. Sci. USA, vol. 83, pp. 1975-1977, Apr. 1986.
- [5] M. F. Barnsley and J. H. Elton, "A new class of markov processes for image encoding", *Advances in Applied Probability*, vol. 20, pp. 14-22, 1988.
- [6] A. Gersho, "On the structure of vector quantization", *IEEE Trans. on Information Theory*, vol. IT-28, pp. 157-166, Mar. 1982.
- [7] A. E. Jacquin, *A Fractal Theory of Iterated Markov Operators with Applications to Digital Image Coding*, Ph. D. Thesis, Georgia Institute of Technology, Aug. 1989.
- [8] A. E. Jacquin. "A novel fractal based block-coding technique for digital images", *Proceedings of the IEEE ICASSP'90*, vol. 4, pp. 2225-2228, 1990.
- [9] D. M. Monroe, F. Dudbridge, "Fractal approximation of image blocks", *Proceedings of the IEEE ICASSP'92*, vol. 3, pp. 485-488, 1992.
- [10] G. E. Oien, S. Lepsoy, "An inner product space approach to image coding by contractive transformations", *Proceedings of the IEEE ICASSP'93*, pp. 345-348, Apr. 1993.
- [11] G. E. Oien, "Parameter quantization in fractal image coding", *Proceedings of the IEEE ICIP'94*, pp. 142-146, Nov. 1994.
- [12] Y. Fisher(Eds.), *Fractal Image Compression : Theory and Application*, Springer-Verlag, 1995.
- [13] 고성식, 김정화, "집음의 정확한 추정 기반 프랙탈 차원 쿼드트리 영역분할과 응용", 전자공학회논문지(TE), 제39권, 3호, pp. 35-41, 2002년 12월
- [14] 정환익, 이광형, "고속 프랙탈 압축을 위해 탐색 중복성이 최소화된 신경회로망 기반의 블록분류기", 전자공학회논문지(TE), 제40권, 1호, pp. 42-49, 2003년 1월